

اثر ریزوسفر لوبيا بر سینتیک آزادسازی فسفر در خاک‌های آهکی دشت شهرکرد

طاهره رئیسی^{۱*}، علیرضا حسین‌پور^۲

تاریخ دریافت: ۹۳/۰۶/۰۲ تاریخ پذیرش: ۹۴/۰۲/۲۲

^۱- پژوهشگر در مؤسسه تحقیقات علوم باگبانی، پژوهشکده مركبات و میوه‌های نیمه‌گرم‌سیری، سازمان تحقیقات، آموزش و ترویج کشاورزی، مازندران، ایران.

^۲- استاد گروه علوم خاک، دانشکده کشاورزی، دانشگاه شهرکرد

* مسئول مکاتبات، پست الکترونیکی: taraiiesi@gmail.com

چکیده

شرایط شیمیایی و زیستی خاک‌های ناحیه ریزوسفر متفاوت از خاک ناحیه غیرریزوسفر هست. اطلاعات در مورد مقدار آزادسازی فسفر در خاک‌های ناحیه ریزوسفر لوبيا محدود هست. بنابراین، این پژوهش با هدف بررسی اثرهای ریزوسفر لوبيا قرمز رقم صیاد (*Phaseolus vulgaris* L.) بر سینتیک آزادسازی فسفر در نه خاک آهکی از استان چهارمحال و بختیاری با استفاده از ریزوپاکس تحت شرایط گلخانه اجرا شد. سینتیک آزادسازی فسفر از ناحیه خاک‌های ریزوسفر و غیرریزوسفر لوبيا به‌وسیله عصاره‌گیری متواالی با بی‌کربنات سدیم در یک دوره از ۲ تا ۱۰۰.۸ ساعت در دمای 25 ± 1 درجه سلسیوس بررسی شد. نتایج نشان داد که میانگین مقدار فسفر استخراج شده بعد از ۱۰۰.۸ ساعت از ناحیه خاک‌های ریزوسفر (۲۱۵ میلی‌گرم بر کیلوگرم) به‌طور معنی‌داری کمتر از ناحیه خاک‌های غیرریزوسفر (۲۲۶ میلی‌گرم بر کیلوگرم) بود. همچنین، نتایج نشان داد که توابع مرتبه اول و نمایی و نیز معادله الوبیچ ساده می‌توانند روند آزادشدن فسفر از ناحیه خاک‌های ریزوسفر و غیرریزوسفر را به‌خوبی تشريح کنند. نتایج نشان داد مقدار فسفر آزادشده پس از ۱۰۰.۸ ساعت از شروع آزمایش و ثابت سرعت رهاسازی اولیه معادله تابع‌نمایی در ناحیه خاک‌های ریزوسفر و غیرریزوسفر همبستگی معنی‌داری با شاخص‌های رشد گیاه لوبيا داشتند. نتایج این تحقیق نشان داد که ریزوسفر لوبيا می‌تواند مقدار و سرعت آزادسازی فسفر را تغییر دهد. علاوه‌براین، مقدار و سرعت آزادسازی فسفر از خاک‌ها عامل مهمی در تأمین فسفر قابل استفاده برای گیاه هست.

واژه‌های کلیدی: ریزوپاکس، ریزوسفر، فسفر، عصاره‌گیری متواالی، مدل‌های سینتیک

The Influence of Bean Rhizosphere on Phosphorus Release Kinetics in Calcareous Soils of Shahrekord Plain

T Raiesi^{1*}, AL Hosseinpur²

Received: 24 August 2014

Accepted: 12 May 2015

¹- Researcher at Horticultural Science Research Institute, Citrus and Subtropical Fruit Research Center, Agricultural Research and Education Organization (AREO), Mazandaran, Iran

²- Prof. of Soil Science Dept., Shahrekord University, Iran

* Corresponding Author, Email : taraiesi@gmail.com

Abstract

Rhizosphere region soils have different chemical and biological properties from bulk soils. Information about phosphorus (P) release in the rhizosphere region soil of bean is limited. Therefore, the objective of this research was to evaluate the effects of bean (*Phaseolus vulgaris* L.) rhizosphere on P release kinetics in 9 types of calcareous soils from Chaharmahal-Va-Bakhtiari province under greenhouse conditions in a rhizobox. The kinetics of P release in the bulk and the rhizosphere region soils were determined by successive extractions with 0.5 M NaHCO₃ in a period of 2 to 1008 h at 25 ± 1°C. The results of kinetics study showed that the mean amount of the extracted P after 1008 h in the extraction period in the rhizosphere region soils (215 mg kg⁻¹) was significantly lower than that in the bulk soils (226 mg kg⁻¹). The release kinetics of P from the rhizosphere region and bulk soils could be defined well by use of the first order, power functions and also, the simplified Elovich equation. The results showed that the amount of the P released after 1008 h and the constant P release rate in power function of the rhizosphere region and the bulk soils had a significant correlation with bean plant growth indices. This research indicated that bean rhizosphere could modify the P release characteristics. In addition, the released P amount and rate are important factors in supplying available P to plants.

Keywords: Kinetics equations, Phosphorus, Rhizobox, Rhizosphere, Successive extraction

کمک خواهد کرد. طبق نظر یورن (۲۰۰۷) حجمی از خاک که تحت تأثیر فعالیت ریشه‌ها و گیاهان در حال رشد قرار می‌گیرد، ریزوسفر نامیده می‌شود. ریزوسفر محل انجام واکنش‌های شیمیایی و بیوشیمیایی زیادی هست. به همین دلیل، محیط ریزوسفر به عنوان مکان داغ^۱ خاک معروف است. نتایج مطالعات حاکی است که جذب عناصر غذایی به وسیله گیاه به سرعت عرضه شکل قابل دسترس عنصر برای ریشه بیش از کل مقدار عنصر در خاک بستگی دارد (نیشانت و بیسوآز ۲۰۰۸).

مقدمه

ظرفیت جذب و آزادسازی عناصر در خاک عامل مهمی در کنترل مقدار عناصر در محلول خاک و قابلیت استفاده آن‌ها برای گیاه است (خاتر و زاقلوی ۲۰۰۲). تمامی فسفر موجود در خاک ممکن است در زمان‌های زمین‌شناسی به محلول خاک راه یابد ولی در دوره رشد گیاه قادر به وارد شدن به محلول خاک نیست (لارسن ۱۹۶۷). ارزیابی توانایی خاک‌ها در آزاد کردن فسفر برای مدیریت این عنصر غذایی در تولید محصول اهمیت دارد. اگر سرعت آزاد شدن فسفر به ویژه در ناحیه اطراف ریشه مشخص باشد، به بهبود مدیریت فسفر

¹ hot-spot

بررسی آزادشدن فسفر از فاز جامد به محلول خاک به عنوان تابعی از زمان (سینتیک آزادسازی فسفر) در دو خاک ریزوسفری و غیرریزوسفری با هدف مقایسه با خاک ریزوسفری را مشخص می‌کند.

اطلاعات کمی درباره اثر فرآیندهای ریزوسفری بر آزادسازی فسفر از خاکها در دسترس هست. در تعدادی از تحقیقات، سینتیک آزادسازی فسفر از خاک در غیاب ریشه گیاه با استفاده از محلول بافر شده بیکربنات سدیم مطالعه شده است (بیابانکی و حسینپور ۱۳۸۶، تور و باهل ۱۹۹۹، گرگین و همکاران ۲۰۱۱). همچنین، چندین رابطه برای تشریح آزادسازی فسفر استفاده شده که از آن جمله معادله‌های مرتبه صفر، مرتبه اول، پخشیدگی پارابولیک، الوبیچ ساده و تابع توانی قابل ذکر است (بیابانکی و حسینپور ۱۳۸۶، کوک ۱۹۸۰، کو و لوتز ۱۹۷۴، چین و کلایتون ۱۹۸۶، شریعتمداری و همکاران ۲۰۰۶، گرگین و همکاران ۲۰۱۱). کوک (۱۹۶۶) به بررسی سرعت آزادسازی فسفر از خاک به‌وسیله رزین تبادل آئیونی در دو سری خاک پرداخت. این محقق گزارش کرد که اگر مقدار فسفر آزادشده در برابر جذر زمان آزادسازی ترسیم گردد، خط راستی به‌دست می‌آید. شبیه این خط راست، که در واقع ظرفیت خاک برای تأمین فسفر برای گیاه در حال رشد بود، با مقدار فسفر برداشت شده به‌وسیله چاودار همبستگی معنی‌داری داشت. بیابانکی و حسینپور (۱۳۸۶) گزارش کردند که ثابت‌های معادله‌های پخشیدگی پارابولیک، تابع توانی و فسفر آزادشده به‌وسیله عصاره‌گیری متوالی با بیکربنات سدیم پس از ۱۷۵۲ ساعت همبستگی معنی‌داری با شاخص‌های گیاه ذرت داشتند. حال سؤالی که پیش می‌آید این است که تغییراتی داشتند. به‌وسیله ریشه گیاه در ریزوسفر رخ می‌دهد، نیز می‌تواند توانایی فاز جامد خاک را برای آزادسازی فسفر تحت تأثیر قرار دهد یا خیر.

محصولات اصلی کشت شده در استان چهارمحال و بختیاری عمدهاً گندم، جو، ذرت و لویبا هستند. سالانه در این منطقه مقدار زیادی کود فسفر به‌وسیله کشاورزان استفاده می‌شود. افزون بر این، به‌نظر

فسفر در غلظت‌های خیلی کم در محلول خاک (طبق گزارش ملکوتی و همائی ۱۳۸۳) مقدار فسفر محلول در بیش از ۵۰ درصد خاک‌های ایران کمتر از ۰/۶ میلی‌گرم بر لیتر است) وجود دارد و جذب آن به‌وسیله گیاه منجر به کاهش بیشتر این عنصر در ناحیه نزدیک ریشه می‌شود (باتاچاریا و همکاران ۲۰۰۳). سرعت انتقال مجدد فسفر به محلول خاک از فاز جامد هم به غلظت فسفر در فاز محلول و هم به زمان وابسته است (بارو ۱۹۷۸، بارو و همکاران ۲۰۰۰). آزادسازی فسفر و به دنبال آن غلظت فسفر نیز به عنوان یکی از مهم‌ترین عناصر غذایی موردنیاز گیاه در منطقه ریزوسفر به‌طور مستقیم یا غیرمستقیم متأثر از فعالیت ریشه‌ها است. ریشه‌ها از طریق تغییر ترکیب جمعیت و افزایش فعالیت ریزجانداران در محیط پیرامون خود می‌توانند به‌طور غیرمستقیم بر فراهمی فسفر اثرگذار باشند. گیاهان و ریزجانداران می‌توانند حل‌پذیری ترکیب‌های معدنی فسفر را از طریق آزادسازی پروتون، هیدروکسیل، دی‌اکسید کربن و آنیون‌های آلی (مارشنر و همکاران ۲۰۱۱) افزایش داده و همچنین آن‌ها می‌توانند فسفر آلی را از طریق آزادسازی آنزیمهای فسفاتاز مختلف معدنی کنند، (نوروزمان و همکاران ۲۰۰۶، بالیک و همکاران ۲۰۰۷، والدریپ و همکاران ۲۰۱۱). بنابراین، در ریزوسفر، فسفر به‌وسیله ترکیب‌های منشأ گرفته از گیاه و یا ریزجانداران متحرک و آزاد می‌شود. از سوی دیگر، ریشه گیاه با جذب فسفر از فاز محلول خاک سبب ایجاد یک شب غلظت و انتقال مجدد فسفر از فاز جامد از طریق پخشیدگی و یا انحلال به فاز محلول می‌شود (باتاچاریا و همکاران ۲۰۰۳) و بدین طریق به‌طور مستقیم فراهمی فسفر را تحت تأثیر قرار می‌دهد. طبق نظر دارا (۱۹۹۳) مقدار این شب غلظت به سه عامل سرعت جذب یا آزادسازی عناصر غذایی، تحرک عناصر غذایی در خاک و سرعت تبدیل شکل‌های غیرقابل دسترس به شکل‌های قابل دسترس تر بستگی دارد. بنابراین، تغییرات اعمال شده به‌وسیله ریشه گیاه، خاک ریزوسفر را محیطی با ویژگی‌های زیستی، شیمیایی و فیزیکی متفاوت از خاک ریزوسفری خواهد کرد و این امر ضرورت

قسمت‌های غیرریزوسفری به ترتیب با یک و سه کیلوگرم خاک هوا خشک پر شدند. نظر به اینکه خاک ریزوباکس‌ها نباید از لحاظ سایر عناصر غذایی کمبودی داشته باشدند، در ابتدای کشت به هر ریزوباکس ۱۰۰ میلی‌گرم پتاسیم از منبع سولفات‌پتاسیم (K_2SO_4) و ۵ میلی‌گرم آهن به صورت سکوسترین ۱۲۸ در کیلوگرم خاک و ۲ میلی‌گرم روی در کیلوگرم خاک از منبع سولفات‌روی ($ZnSO_4 \cdot 7H_2O$) اضافه شد. همچنین، به هر ریزوباکس مقدار ۲۰ میلی‌گرم نیتروژن در کیلوگرم خاک از منبع اوره ($CO(NH_2)_2$) در ابتدای کشت برای تأمین فسفر مورد نیاز گیاه در مراحل اولیه رشد و تا قبل از تشکیل گره‌ها اضافه شد (زارع‌نیا ۱۳۹۰). برای کشت گیاه، بذرهای لوبيا قرمز (*Phaseolus vulgaris L.*) رقم صیاد پس از ضدعفونی کردن با هیپوکلریت سدیم، جوانه زدن و تلقیح با باکتری ریزوبیوم به تعداد شش بذر در قسمت مرکزی ریزوباکس‌ها کشت شدند. در پایان هفته اول تعداد بذرها در هر ریزوباکس به چهار عدد تقلیل یافت. در طول مدت رشد، مراقبت‌های لازم انجام گردید و سعی شد گیاهان چار تنش خشکی نشوند. بخش هوایی گیاهان ۸ هفته بعد از کاشت برداشت شد. بخش هوایی گیاهان با آب مقطر شسته شده و به مدت ۷۲ ساعت در دمای ۶۵ درجه سلسیوس خشک و وزن خشک بخش هوایی تعیین شد. نمونه‌های خشک شده در آون (بخش هوایی) به روش خشک خاکسترسازی هضم و مقدار فسفر موجود در نمونه‌های هضم شده به روش رنگ‌سننجی آبی (مورفی و رایلی CINTRA ۱۰۱) با دستگاه اسپکتروفتومتر مدل ۱۹۶۲ تعیین شد. همچنین، ریزوباکس‌ها در پایان فصل رشد باز شدند و از هر ریزوباکس دو نمونه خاک، یکی از قسمت مرکزی و دیگری از بخش‌های کناری ریزوباکس‌ها برداشت شد و بلافاصله به آزمایشگاه خاکشناسی منتقل گردید. مقداری از خاک‌های ریزوسفری و غیرریزوسفری هر ریزوباکس هوا خشک و برای بررسی سینتیک آزادسازی فسفر استفاده گردید. این دو نمونه خاک در هر ریزوباکس به ترتیب معرف خاک ریزوسفری و خاک غیرریزوسفری بودند.

می‌رسد داشتن اطلاعات در مورد سرعت آزاد شدن فسفر، بهویژه در ناحیه اطراف ریشه می‌تواند به بهبود مدیریت فسفر کمک کند. بنابراین، این پژوهش با هدف بررسی اثر ریزوسفر لوبيا بر مقدار و سرعت آزادسازی فسفر از خاک‌های استان چهارمحال و بختیاری در ریزوباکس اجرا شد.

مواد و روش‌ها

برای انجام این پژوهش ۳۰ نمونه خاک سطحی از نقاط مختلف زمین‌های زراعی دشت شهرکرد از عمق صفر تا ۳۰ سانتی‌متری جمع‌آوری شدند. پس از هوا خشک کردن، نمونه‌های خاک از الک ۲ میلی‌متری عبور داده شدند. سپس نه نمونه خاک بر اساس مقدار درصد رس، کربنات کلسیم معادل و مقدار فسفر قابل استفاده عصاره‌گیری شده با روش اولسن (اولسن و سامرز ۱۹۸۲) انتخاب شدند. ویژگی‌های فیزیکی و شیمیایی خاک‌های منتخب به روش‌های معمول آزمایشگاهی تعیین شدند. pH نمونه‌های خاک در سوسپانسیون ۲ به ۱ محلول به خاک (توماس ۱۹۹۶)، قابلیت هدایت الکتریکی در عصاره‌های صاف شده با نسبت ۲ به ۱ محلول به خاک (روادز ۱۹۹۶)، کربنات کلسیم معادل خاک به روش خنثی‌سازی با اسیدکلریدریک (لوپرت و اسپارکس ۱۹۹۶)، کربن آلی خاک به روش اکسایش تر (تلسون سامرز ۱۹۹۶) و بافت خاک به روش هیدرومتر دو زمانه (جی و بادر ۱۹۸۶) تعیین شد.

برای مطالعه اثر نوع خاک بر شاخص‌های گیاه لوبيا، یک آزمایش گلخانه‌ای در قالب طرح کاملاً تصادفی در نه نوع خاک و در سه تکرار انجام شد. برای مطالعه ریزوسفر لوبيا از ریزوباکس استفاده شد (یوسف و چینو ۱۹۸۸). ارتفاع، عرض و طول ریزوباکس‌ها به ترتیب شامل بخش مرکزی یا قسمت ریزوسفری (طول ۳۲ میلی‌متر) و قسمت‌های غیرریزوسفری (به طول ۵۰ میلی‌متر در دو طرف خاک ریزوباکس) تقسیم شد. دو قسمت خاک غیرریزوسفری از قسمت ریشه و خاک ریزوسفری بهویله یک پوشش نایلونی با قطر منافذ حدود ۲۴ میکرومتر جدا شدند. قسمت ریزوسفری و

پایان دوره آزمایش و جمع‌آوری داده‌ها (در این تحقیق عصاره‌گیری تا زمانی ادامه یافته که تغییرات مقدار فسفر آزادشده در دو دوره زمانی متواالی کم گردد و منحنی آزادسازی به سمت مجانب افقی تمایل پیدا کند)، معادله‌های مرتبه صفر، مرتبه اول، الیوچ ساده شده، تابع توانی و پخشیدگی پارابولیک (جدول ۱) بر مقدار تجمعی فسفر آزادشده برآرش و ثابت‌های معادله‌ها برآورد شد. سپس، بر اساس ضریب تعیین و خطای استاندارد تخمین، بهترین مدل یا مدل‌ها برای توصیف آزاد شدن فسفر انتخاب و ضرایب این معادله‌ها گزارش شد. خطای استاندارد تخمین از رابطه ۱ محاسبه شد (دنگ و همکاران ۱۹۹۴):

$$SE = (\sum (Pt - P^*)^2 / n-2)^{0.5} \quad [1]$$

که در آن: P_t و P^* بهترتب مقدار فسفر آزادشده و برآورد شده به‌وسیله مدل در زمان t و n تعداد نقاط آزمایشی است. در نهایت اثر ریزوسفر بر مقدار فسفر آزادشده با آزمون تی جفت شده و اثر نوع خاک بر شاخص‌های گیاه توسط تجزیه واریانس یک‌طرفه بررسی شد. کلیه تحلیل‌های آماری با استفاده از نرم‌افزار 10 STATISTICA انجام شد.

بررسی آزاد شدن فسفر در نمونه خاک‌های ریزوسفری و غیرریزوسفری لوبيا با استفاده از روش عصاره‌گیری متواالی با محلول اولسن (تور و باهل ۱۹۹۹) انجام شد. بدین منظور در سه تکرار، ۱ گرم خاک هوا خشک از هر نمونه، همراه با ۲۰ میلی‌لیتر بی‌کربنات سدیم ۵/۰ نرمال با $pH=8/5$ در لوله‌های سانتریفیوژ به صورت جداگانه ریخته شدند. نمونه‌ها داخل انکوباتور در دمای 25 ± 1 درجه سلسیوس قرار داده شدند. ۱۵ دقیقه قبل از قرار دادن نمونه‌ها در انکوباتور و ۱۵ دقیقه قبل از اتمام هر دوره، نمونه‌ها به‌وسیله دستگاه تکان دهنده برقی تکان داده شدند. خاک‌ها در زمان‌های ۴، ۲، ۸، ۵۰، ۳۳۶، ۲۴۰، ۱۶۸، ۱۴۴، ۱۲۰، ۹۶، ۷۲، ۴۸، ۲۴ و ۸۴۰ و ۶۷۲ ساعت پس از افزودن محلول‌ها، عصاره‌گیری شدند. بدین منظور، سوسپانسیون‌ها با دستگاه سانتریفیوژ با ۳۰۰۰ دور در دقیقه صاف و محلول رویی جدا و مقدار لازم از محلول عصاره‌گیر مجددأ به نمونه خاک‌ها اضافه و پس از یک و روتکس ۵ ثانیه‌ای شدید به منظور رها شدن خاک چسبیده به دیواره لوله‌های سانتریفیوژ و پس از ۱۵ دقیقه تکان دادن به‌وسیله دستگاه تکان دهنده برقی، نمونه‌ها مجددأ به انکوباتور منتقل شدند. غلظت فسفر عصاره‌ها به روش رنگ‌سنجی (مورفی و رایلی ۱۹۶۲) تعیین شد. پس از

جدول ۱- معادله‌های سینتیکی مورداستفاده در این تحقیق (دنگ و همکاران ۱۹۹۴).

| فرمول | مدل سینتیکی |
|--|-------------------|
| $(P_0 - P_t) = a - k_0 t$ | مرتبه صفر |
| $\ln(P_0 - P_t) = a - k_1 t$ | مرتبه اول |
| $P_t = a + R t^{0.5}$ | پخشیدگی پارابولیک |
| $P_t = a \times t^b$ | تابع توانی |
| $P_t = 1/\beta \ln(\alpha\beta) + 1/\beta \ln t$ | الیوچ ساده شده |

P₀: مقدار فسفر آزادشده در زمان t (mg kg⁻¹ h⁻¹), k₀ (mg kg⁻¹ h⁻¹) و k₁ (mg kg⁻¹ h⁻¹):(mg kg⁻¹)^{1/2}, a: عرض از مبدأ معادله‌های سینتیکی و b: زمان (h). در معادله الیوچ ساده شده معادل با a در نظر گرفته شده است

درصد، دامنه کربنات کلسیم معادل از ۱۶ تا ۴۸ درصد و مقدار کربن آلی از ۰/۳۱ تا ۱/۳۹ درصد بود. خاک‌های موردمطالعه قلیایی (دامنه pH از ۷/۹ تا ۸/۱)

نتایج و بحث

دامنه مقدار رس و سیلت در خاک‌های موردمطالعه بهترتب از ۱۲/۳ تا ۵۵ و از ۲۵ تا ۵۶

بررسی شده دارای دامنه وسیعی از نظر فسفر اولسن، کربنات کلسیم معادل و درصد رس می‌باشدند (جدول ۲).

و غیرشور (دامنه هدایت الکتریکی از ۰/۲۶ تا ۰/۶۱ دسی‌زیمنس بر متر) بودند. همچنین، دامنه فسفر استخراج شده با روش اولسن از ۱۵/۹ تا ۷۱/۹ میلی‌گرم بر کیلوگرم بود. بنابراین، می‌توان گفت خاک‌های

جدول ۲- برخی از ویژگی‌های فیزیکی و شیمیایی اولیه خاک‌ها.

| شماره خاک | طول و عرض جغرافیایی | ردبهندی خاک | pH | هدایت الکتریکی (EC) | سیلت | رس | کربنات کلسیم معادل | فرن اولسن | آلی | (mg kg ⁻¹) |
|--------------|------------------------|--------------|-------|------------------------|------|----|--------------------------|--------------|------|------------------------|
| | | | (۲:۱) | (dS m ⁻¹) | (%) | | | | | |
| ۱ | ۵۸' E ۵۰' | A' N ۳۲° | ۸/۰ | ۰/۳۸ | ۴۰ | ۴۸ | ۱۶ | ۱۵/۹ | ۰/۵۰ | |
| ۲ | ۴۰' E ۵۰° | ۱۹' N ۲۲° | ۸/۰ | ۰/۴۶ | ۲۳ | ۲۵ | ۴۱ | ۱۷/۵ | ۰/۴۳ | |
| ۳ | ۵۸' E ۵۰° | ۶' N ۳۲° | ۸/۰ | ۰/۴۲ | ۵۶ | ۴۹ | ۴۸ | ۱۹/۱ | ۰/۲۱ | |
| ۴ | ۵۸' E ۵۰° | ۹' N ۳۲° | ۸/۰ | ۰/۴۶ | ۴۲ | ۵۲ | ۳۹ | ۱۸/۱ | ۰/۵۴ | |
| ۵ | ۳۴' E ۵۰° | ۱۵' N ۳۲° | ۷/۹ | ۰/۵۹ | ۳۰ | ۵۵ | ۲۷ | ۲۲/۴ | ۰/۸۴ | |
| ۶ | ۴۴' E ۵۰° | ۳۴' N ۳۲° | ۸/۱ | ۰/۳۶ | ۴۴ | ۳۷ | ۳۳ | ۴۰/۱ | ۰/۵۱ | |
| ۷ | ۵۸' E ۵۰° | ۱۷' N ۳۲° | ۸/۱ | ۰/۵۹ | ۳۹ | ۴۹ | ۲۷ | ۳۲/۰ | ۱/۳۹ | |
| ۸ | ۵۸' E ۵۰° | ۱۵' N ۳۲° | ۸/۰ | ۰/۶۱ | ۴۷ | ۳۷ | ۲۱ | ۷۱/۹ | ۱/۰۴ | |
| ۹ | ۵۸' E ۵۰° | ۱۵' N ۳۲° | ۸/۰ | ۰/۲۶ | ۲۵ | ۱۳ | ۱۹ | ۱۶/۸ | ۰/۷۰ | |
| | ضریب تغییرات (%) | | ۰/۷۱ | ۲۶ | ۲۴ | ۲۴ | ۲۶ | ۶۲ | ۴۷ | |

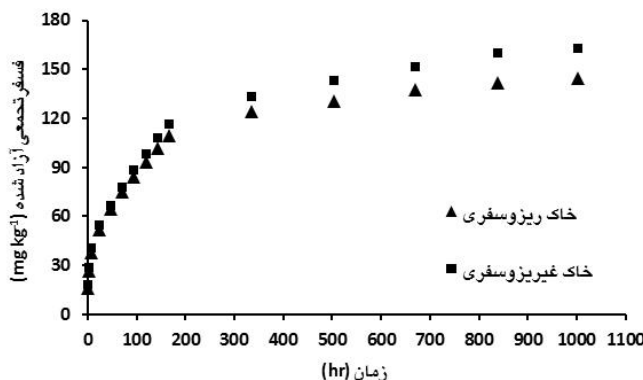
مطابق نظر آرنیوس^۲ سد انرژی بین ماده اولیه و بالاترین نقطه مسیر واکنش انرژی فعال‌سازی (Ea) نامیده می‌شود (پارسافر و همکاران ۱۳۸۰):

$$k = A \exp(-E_a/RT) \quad [2]$$

در این رابطه A ثابت آرنیوس، k ثابت سرعت، Ea انرژی فعال‌سازی، R ثابت عمومی گازها و T دما نامیده می‌شود. همان‌طور که ملاحظه می‌شود که با افزایش Ea، k کوچک می‌شود و لذا سرعت واکنش با افزایش انرژی فعال‌سازی کاهش می‌یابد (پارسافر و همکاران ۱۳۸۰).

مقدار فسفر تجمعی آزادشده از خاک ریزوسفری و غیرریزوسفری شماره ۱ به وسیله عصاره‌گیری متوالی با بی‌کربنات سدیم به عنوان تابعی از زمان در شکل ۱ نشان داده شده است. بقیه خاک‌ها نیز روندی مشابه با خاک شماره ۱ را نشان دادند. روند

آزاد شدن تجمعی فسفر با زمان شامل دو بخش بود. بررسی نمودار آزاد شدن تجمعی فسفر به وسیله عصاره‌گیری بی‌کربنات سدیم نشان داد که سرعت آزاد شدن فسفر از این خاک‌ها (چه ریزوسفری و چه غیرریزوسفری) در مراحل اولیه سریع و سپس کند بود.



شکل ۱- مقدار تجمعی فسفر آزادشده با زمان.

می‌شود و دیگری به کندی آزاد می‌شود. هر دو شکل به طور همزمان در مراحل اولیه (۶-۱۲ ساعت) آزاد می‌شوند اما در زمان‌های بعدی تنها شکلی از فسفر که سرعت آزادسازی آن آرام است آزاد می‌شود. بیانکی و حسین‌پور (۲۰۰۲) نیز گزارش کردند که سرعت آزادسازی فسفر از خاک‌های موردمطالعه در ابتدا سریع و سپس به آهستگی ادامه یافت. همان‌طور که در شکل ۱ مشاهده می‌شود شبیه منحني تجمعی فسفر آزادشده از خاک‌های ریزوسفری و غیرریزوسفری در زمان ۱۶۸ ساعت تغییر کرد. بنابراین، مقادیر فسفر آزادشده پس از ۱۶۸ ساعت و ۱۰۰۸ ساعت از شروع آزمایش در جدول ۳ آورده شده است.

همان‌طور که در جدول ۳ مشاهده می‌شود، نتایج مقایسه میانگین‌ها برای اثر ریزوسفر نشان داد که مقدار فسفر استخراج شده به وسیله عصاره‌گیری متوالی با بیکربنات سدیم از خاک‌های ریزوسفری پس از ۱۶۸ ساعت و ۱۰۰۸ ساعت به طور معنی‌داری ($p < 0.01$) کمتر از مقدار فسفر آزادشده از خاک‌های غیرریزوسفری بود. دامنه مقدار فسفر استخراج شده در پایان بخش اول (۲-۱۶۸ ساعت) از خاک‌های ریزوسفری از ۹۹ تا ۲۸۰ و از خاک‌های غیرریزوسفری از ۱۰۲ تا ۳۱۴ میلی‌گرم بر کیلوگرم متغیر بود. همچنین، دامنه مقدار فسفر استخراج شده در بخش دوم از خاک‌های ریزوسفری از ۳۴ تا ۱۰۸ و از خاک‌های غیرریزوسفری از ۹۸ تا ۳۵ میلی‌گرم بر کیلوگرم

شارپلی و آهوجا (۱۹۸۳) گزارش کردند که آزادسازی فسفر در طول دوره‌های کوتاه، فرآیندی با انرژی فعالسازی پایین بود. این پژوهشگران پیشنهاد کردند که به دلیل پایین بودن انرژی فعالسازی در طول دوره‌های کوتاه، احتمالاً مرحله تعیین‌کننده سرعت آزادسازی فسفر در این دوره‌ها، سرعت پخشیدگی فسفر آزادشده از غشاء‌های آبی احاطه‌کننده ذرات خاک به خارج است. در طول مراحل اولیه رهاسازی، فسفر نگهداشت شده در مکان‌های با انرژی فعالسازی پایین رها می‌شود؛ این در حالی است که در طول مراحل آخر، فسفر نگهداشت شده در مکان‌های با انرژی فعالسازی بالا آزاد می‌شود. علاوه‌براین، مکدول و شارپلی (۲۰۰۳) پیشنهاد کردند که در بازه‌های زمانی طولانی‌مدت، انحلال گونه‌های فسفر مرحله محدود کننده سرعت در آزادسازی فسفر و در بازه‌های زمانی کوتاه‌مدت فرآیند واجذبی احتمالاً غالب است. به علت مشکل بودن جداسازی این دو فرآیند، سینتیک آزادسازی فسفر به صورت ترکیبی از دو فرآیند رهاسازی و انحلال در نظر گرفته می‌شود. سرعت واجذبی فسفر می‌تواند بسته به سطح کانی و سازوکار جذب متفاوت باشد (گرگین و همکاران ۲۰۱۱). همچنین، سرعت انحلال کانی‌های فسفر نیز می‌تواند بسته به نوع گونه، درجه تبلور کانی و اندازه ذره متفاوت باشد (بیانکی و حسین‌پور ۱۳۸۶). الرشیدی و همکاران (۱۹۷۵) پیشنهاد کردند که در خاک‌های شدیداً آهکی دو شکل از فسفر وجود دارد: یک شکل که سریعاً آزاد

غیرریزوسفری از ۱۳۷ تا ۴۰۷ میلی‌گرم بر کیلوگرم متغیر بود.

متغیر بود. نتایج نشان داد که دامنه مقدار فسفر استخراج شده بعد از ۱۰۰۸ ساعت از خاکهای ریزوسفری از ۱۲۲ تا ۳۷۱ و از خاکهای

جدول ۳- مقدار فسفر آزادشده (میلی‌گرم بر کیلوگرم) از خاکهای ریزوسفری و غیرریزوسفری.

| خاک | ۱۶۸-۱۰۰۸ ساعت (بخش دوم) | | | | | |
|---------|-------------------------|---------|-------------|---------|----------------------|---------|
| | غیرریزوسفر | ریزوسفر | غیرریزوسفر | ریزوسفر | غیرریزوسفر | ریزوسفر |
| | ۲-۱۶۸ ساعت (بخش اول) | | ۲-۱۰۰۸ ساعت | | ۲-۱۶۸ ساعت (بخش اول) | |
| ۱ | ۴۶ | ۳۵ | ۱۶۳ | ۱۴۴ | ۱۱۶ | ۱۰۹ |
| ۲ | ۵۵ | ۵۷ | ۲۱۶ | ۲۱۱ | ۱۶۱ | ۱۵۴ |
| ۳ | ۳۹ | ۳۴ | ۱۷۱ | ۱۷۲ | ۱۲۲ | ۱۲۸ |
| ۴ | ۴۸ | ۴۶ | ۱۸۶ | ۱۷۷ | ۱۲۸ | ۱۲۱ |
| ۵ | ۴۲ | ۳۹ | ۱۶۶ | ۱۵۰ | ۱۲۳ | ۱۱۱ |
| ۶ | ۹۸ | ۱۰۸ | ۲۶۴ | ۲۶۰ | ۲۶۶ | ۲۵۱ |
| ۷ | ۴۰ | ۴۱ | ۲۲۷ | ۲۱۳ | ۱۸۷ | ۱۷۲ |
| ۸ | ۹۳ | ۹۱ | ۴۰۷ | ۳۷۱ | ۳۱۴ | ۲۸۰ |
| ۹ | ۲۵ | ۳۴ | ۱۲۷ | ۱۲۳ | ۱۰۲ | ۹۹ |
| میانگین | ۵۵a | ۵۴a | ۲۲۶a | ۲۱۵b | ۱۷۱a | ۱۶۱b |

حروف متفاوت در سطر پایانی نشان‌دهنده وجود تفاوت معنی‌دار بین میانگین مقدار فسفر آزادشده از خاکهای ریزوسفری و غیرریزوسفری در سطح احتمال پنج درصد به وسیله آزمون تی جفت‌شده هست: هر کدام از داده‌های ارائه شده در جدول میانگین سه تکرار هستند.

غیرریزوسفری مؤثرند، همبستگی شکل‌های فسفر با مقدار فسفر آزادشده از این خاکها مورد بررسی قرار گرفته است. نتایج همبستگی مقدار فسفر آزادشده در دو بخش منحنی آزادسازی فسفر با شکل‌های مختلف فسفر نشان داد در بخش اول، احتمالاً شکل‌های فسفر مرتبط با اکسیدهای آهن و آلومینیم ($r=0.66^{**}$ ، فسفر مرتبط با کلسیم ($r=0.76^{**}$) و فسفر آلی ($r=0.68^{**}$) در آزادسازی فسفر از خاکهای ریزوسفری و شکل‌های فسفر مرتبط با کلسیم ($r=0.80^{***}$) و فسفر آلی ($r=0.75^{**}$) در آزادسازی فسفر از خاکهای غیرریزوسفری نقش مهمی داشته‌اند. لیکن در بخش دوم، احتمالاً فسفر مرتبط با کلسیم در آزادسازی فسفر از خاکهای ریزوسفری ($r=0.83^{***}$) و غیرریزوسفری ($r=0.68^{**}$) نقش مهمی داشته‌اند. همچنین در بخش اول، مقدار فسفر آزادشده همبستگی معنی‌داری با فسفر استخراج شده با روش اولسن ($r=0.66^{***}$ و $r=0.61^{**}$ به ترتیب در خاکهای ریزوسفری و غیرریزوسفری) داشت. لیکن در بخش دوم همبستگی معنی‌داری بین دو ویژگی ذکر شده

بررسی نتایج نشان داد که به‌طور کلی مقدار فسفر آزادشده پس از ۱۶۸ و ۱۰۰۸ ساعت از خاکهای ریزوسفری لوبیا کمتر از مقدار فسفر آزادشده از خاکهای غیرریزوسفری بود. در مطالعه حاضر ریزوسفر لوبیا منجر به افزایش فعالیت فسفاتاز اسیدی (ترشح شده توسط ریشه گیاه و ریزجانداران)، فسفاتاز قلیایی (ترشح شده توسط ریزجانداران)، کربن آلی محلول، کربن و فسفر زیست‌توده میکروبی و کاهش فسفر قابل استخراج با روش اولسن شد (نتایج آورده نشده است). بنابراین، همان‌طور که ویژگی‌های بیولوژیکی تحت تأثیر ریزوسفر قرار گرفته، احتمالاً خصوصیات شیمیایی خاک از جمله آزادسازی فسفر نیز تحت تأثیر محیط ریزوسفر قرار می‌گیرند. علاوه بر این در مطالعه‌ای مجزا در خاکهای مطالعه شده، اثر ریزوسفر بر جزء‌بندی فسفر به روش اولسن و سامرز (۱۹۸۲) نیز بررسی شده است (نتایج آورده نشده است) که در ادامه به‌منظور آگاهی از شکل‌های از فسفر که در آزادسازی این عنصر از خاکهای ریزوسفری و

کشت لوپیا، به نظر می‌رسد جذب فسفر به وسیله ریشه گیاه منجر به تخلیه مخازن لبایل در خاک‌های ریزوسفری شده و در نتیجه مقدار آزادسازی فسفر در خاک‌های ریزوسفر پایین‌تر از خاک‌های غیرریزوسفری است. در تحقیقات گذشته نیز به تخلیه فسفر لبایل در ریزوسفر لوپیا اشاره شده است (مارشتر و همکاران ۲۰۰۵، هینسینگر ۲۰۰۱، باتاچاریا و همکاران ۲۰۰۳). در بخش دوم تفاوت معنی‌داری بین مقادیر فسفر آزادشده از خاک‌های ریزوسفری و غیرریزوسفری مشاهده نشد. همان‌طور که اشاره شده در بازه زمانی ۱۶۸-۱۰۰۸ ساعت چه در خاک‌های ریزوسفری و چه در خاک‌های غیرریزوسفری همبستگی معنی‌داری بین فسفر آزادشده و شکل فسفر مرتبط با کلسیم مشاهده شد. لیکن، در این بازه زمانی همبستگی بین فسفر استخراجی با روش اولسن و مقدار فسفر آزادشده در این بازه زمانی مشاهده نشد. مارل و هینسینگر (۱۹۹۹) به بررسی سینتیک تبادل یون فسفر بین محلول خاک و فاز جامد خاک در دو خاک ریزوسفری و خاک غیرریزوسفری پرداختند. نتایج نشان داد که سینتیک تبادل فسفر بین فاز جامد و مایع خاک به‌طور معنی‌داری بین خاک ریزوسفری و خاک غیرریزوسفری متفاوت بود.

در ادامه معادله‌های سینتیکی بر داده‌های آزادسازی فسفر با زمان برآش داده شدند. دامنه تغییرات t^2 و SE معادله‌های سینتیکی موردمطالعه در جدول ۴ آورده شده است. نتایج نشان دادند که در خاک‌های ریزوسفری و غیرریزوسفری، معادله‌های الویچ ساده، تابع نمایی و مرتبه اول می‌توانند سرعت آزاد شدن فسفر را به‌خوبی، تشریح کنند. روابط رگرسیونی برآش شده به وسیله معادله‌های الویچ ساده، تابع نمایی و مرتبه اول بر تغییرات مقدار فسفر تجمعی آزادشده با زمان در شکل ۲ نشان داده شده است. تشریح موفقیت‌آمیز سینتیک آزادسازی فسفر به وسیله معادله الویچ ساده (استفنز ۱۹۹۴، تور و باهل ۱۹۹۹، شریعتمداری و همکاران ۲۰۰۶، گرگین و همکاران ۲۰۱۱)، تابع توانی (بیابانکی و حسین‌پور ۱۳۸۶

مشاهده نشد ($I=0/43$ و $I=0/30$ به ترتیب در خاک‌های ریزوسفری و غیرریزوسفری). بنابراین در بخش اول فسفر از مخازن لبایلی که به وسیله عصاره‌گیر تک مرحله‌ای اولسن قابل استخراج هست آزاد شده است اما در بخش دوم با بر هم خوردن تعادل، واکنش‌های انحلال‌رسوب وارد عمل شده و بخش‌هایی از فسفر غیرلبایل آزاد شده است. سرعت آزادسازی فسفر از خاک‌ها می‌تواند به چند فرآیند ربط داده شود. احتمالاً سه سازوکار معمول آزادسازی فسفر که در خاک‌ها مطالعه شده، شامل انحلال کانی‌های فسفر، آزادسازی فسفر از سطح کانی‌ها و آزادسازی فسفر از مواد آلی هست. بنابراین، ویژگی‌های آزادسازی فسفر مشاهده شده در این خاک‌ها احتمالاً ناشی از چندین فرآیند است که به‌طور همزمان رخ می‌دهند که باعث می‌شود تشخیص فرآیند اختصاصی برای رفتار آزادسازی مشاهده شده مشکل‌تر شود. بررسی نتایج الرشیدی و همکاران (۱۹۷۵) نشان داد که فسفر محلول در کلرید آمونیوم همبستگی معنی‌داری با فسفر استخراج شده به وسیله رزین در دوره‌های تعادل ۱، ۲، ۴، ۶، ۱۲، ۲۴، ۴۸ و ۷۲ ساعته داشت. همچنین شکل فسفر مرتبط با آلومینیم همبستگی ضعیفی با فسفر استخراج شده به وسیله رزین در همه دوره‌های بررسی شده داشت. این در حالی بود که مجموع این دو شکل فسفر همبستگی بالا و معنی‌داری با فسفر استخراج شده با رزین در همه دوره‌های تعادل به‌ویژه در دوره تعادل ۷۲ ساعته داشت. بنابراین این محققان فرض کردند که در خاک‌های آهکی مطالعه شده این دو شکل فسفر می‌توانند به عنوان مقدار فعل فسفر معدنی خاک یا به عنوان فاکتور ظرفیت فسفر در خاک‌های مطالعه شده در نظر گرفته شوند.

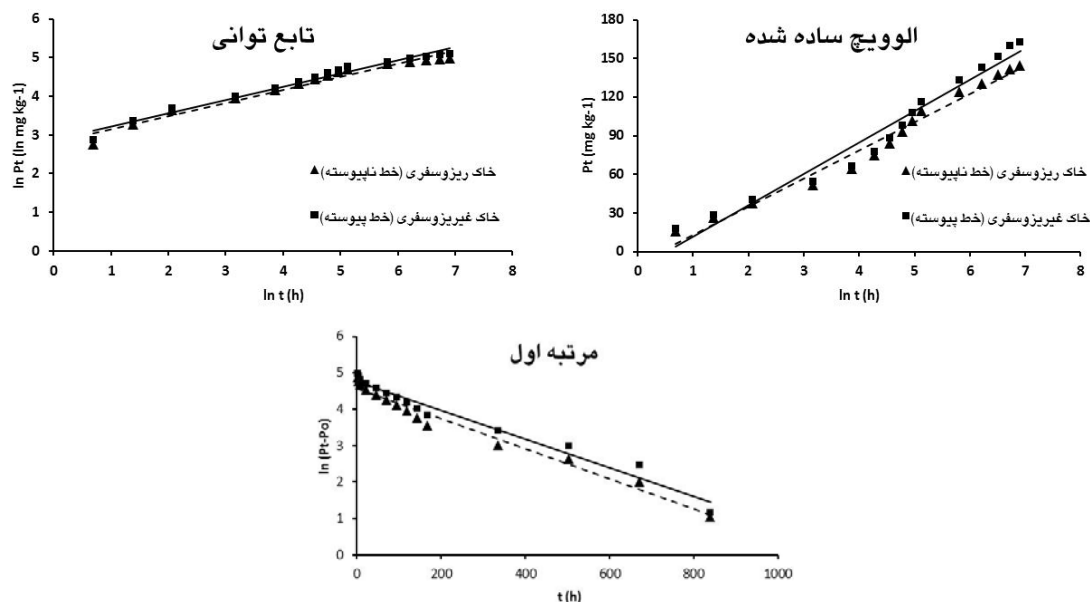
به‌طور کلی، در مطالعه حاضر به‌نظر می‌رسد که کاهش غلظت فسفر در خاک مجاور ریشه، نیروی لازم برای پخشیدگی فسفر به سمت ریشه را تأمین نموده و علاوه براین تعادل جذب- واجذبی و رسوب- انحلال را بر هم زده و منجر به دستری بیشتر گیاه به منابع فسفر کمتر قابل دسترس گردیده است. در بخش اول در

و حسین پور (۱۳۸۶) در گذشته گزارش شده است.

، گرگین و همکاران (۲۰۱۱) و معادله مرتبه اول (بیابانکی

جدول ۴- دامنه ضرایب تشخیص و خطای استاندارد برآورد (میلی‌گرم بر کیلوگرم) در معادله‌های مورداستفاده.

| خاک | مرتبه صفر | مرتبه اول | تابع توانی | پخشیدگی پارabolیک | الویج ساده شده | الویج ساده شده |
|------------|------------|-----------|------------|-------------------|----------------|----------------|
| ریزوسفر | ۰/۶۲۰-۰/۷۴ | ۰/۹۶-۰/۹۸ | ۰/۹۵-۰/۹۸ | ۰/۸۴-۰/۹۲ | ۰/۹۷-۰/۹۹ | ۰/۹۷-۰/۹۹ |
| | r^2 | ۲۱-۵۵ | ۱۰-۳۰ | ۱۲-۳۰ | ۵-۱۷ | ۵-۱۴ |
| غیرریزوسفر | ۰/۶۰-۰/۷۰ | ۰/۹۵-۰/۹۸ | ۰/۹۵-۰/۹۸ | ۰/۸۲-۰/۹۳ | ۰/۹۶-۰/۹۹ | ۰/۹۶-۰/۹۹ |
| | r^2 | ۲۸-۵۸ | ۱۰-۳۴ | ۱۲-۳۴ | ۵-۱۸ | ۵-۱۴ |
| SE | SE | SE | SE | SE | SE | SE |



شکل ۲- مقدار تجمعی فسفر آزادشده (میلی‌گرم بر کیلوگرم) توصیف شده به وسیله سه معادله ریاضی.

ثابت‌های معادله‌های الویج ساده شده می‌توانند برای مقایسه سرعت آزادسازی فسفر در خاک‌های مختلف استفاده شوند. با افزایش مقدار پارامتر a و کاهش مقدار پارامتر β سرعت آزادسازی فسفر افزایش می‌یابد.

در معادله توانی، دامنه تغییر پارامتر a در معادله توانی در خاک‌های مطالعه شده گستردۀ است در حالی که دامنه مقادیر ضریب سرعت b در خاک‌های مطالعه شده نسبتاً کوچک هستند (جدول ۵). بنابراین، احتمالاً یک افزایش در مقدار a و یک کاهش در مقدار b نشان‌دهنده افزایش در سرعت آزادسازی فسفر هست (دنگ و همکاران ۱۹۹۴). در معادله توانی، درصورتی که از معادله $q_t = at^b$ نسبت به زمان مشتق گرفته شود و $t=1$ باشد، $dq_t/dt = ab$ خواهد بود، در این

ثبت‌های برآورد شده معادله‌های سینتیکی انتخاب شده در خاک‌های ریزوسفری و غیرریزوسفری در جدول ۵ آورده شده است. میانگین ثابت سرعت معادله مرتبه اول ($k_1 \times 10^3$) در هر دو محیط (خاک‌های ریزوسفری و غیرریزوسفری) $4/5$ میلی‌گرم در کیلوگرم بر ساعت بود. میانگین ثابت سرعت معادله الویج ساده در خاک‌های ریزوسفری و غیرریزوسفری به ترتیب ۳۱ و ۳۲ میلی‌گرم در کیلوگرم بود. معادله الویج یک معادله تجربی و نیمه لگاریتمی است و توضیحی در مورد یک سازوکار مشخص نمی‌دهد. لیکن در برخی از متابع گزارش شده است که معادله الویج قادر است تعدادی از فرآیندهای مختلف از قبیل پخشیدگی سطحی را توضیح دهد (تور و باهل ۱۹۹۹).

آزادسازی فسفر با استفاده از نوارهای کاغذی در ماتریکس کلرید کلسیم در طول یک دوره ۲۴۶۰ دقیقه‌ای به عنوان تابعی از غلظت اولیه فسفر آزمون خاک (اولسن و کلرید کلسیم) پرداختند. آنان معادله تابع توانی را بر داده‌های آزادسازی فسفر برآش دادند و مشاهده کردند که ضریب سرعت این معادله با افزایش فسفر استخراج شده به روش اولسن (P-اولسن) و فسفر استخراج شده به وسیله کلرید کلسیم ($\text{CaCl}_2\text{-P}$) کاهش یافت.

حالت، پارامتر ab را می‌توان به عنوان سرعت رهاسازی اولیه فسفر در نظر گرفت (دنگ و همکاران ۱۹۹۴). بنابراین در نظر گرفتن سرعت آزادسازی فسفر به صورت $a \times b$ مناسب‌تر هست. بررسی نتایج نشان داد که مقدار $a \times b$ در خاک‌های ریزوسفری کمتر از خاک‌های غیرریزوسفری بود. میانگین ثابت سرعت تابع توانی ($a \times b$) در خاک‌های ریزوسفری و غیرریزوسفری به ترتیب ۱۰ و ۱۱ (میلی‌گرم در کیلوگرم بر ساعت)^b بود. مکدول و شارپلی (۲۰۰۳) به بررسی سینتیک

جدول ۵- ضرایب معادله‌های استفاده شده برای تشریح سینتیک آزادسازی فسفر از خاک‌های ریزوسفری و غیرریزوسفری.

| مرتبه اول | تابع توانی | | | | | | | | | | | | خاک | |
|-----------|------------|-------------------|------------|-------------------|---------|----|--------------|------|---------|--------------|------------|-----------|-----|-----------|
| | ریزوسفر | | غیرریزوسفر | | ریزوسفر | | غیرریزوسفر | | ریزوسفر | | غیرریزوسفر | | | |
| | a | $k_1 \times 10^3$ | a | $k_1 \times 10^3$ | a | b | a \times b | a | b | a \times b | A | $1/\beta$ | A | $1/\beta$ |
| ۴/۶ | ۴/۰ | ۴/۷ | ۴/۰ | ۲۳ | ۰/۲۸ | ۶ | ۲۲ | ۰/۳۰ | ۷ | ۱۵ | ۲۲ | ۱۵ | ۲۴ | ۱ |
| ۵/۰ | ۴/۵ | ۵/۰ | ۴/۶ | ۲۹ | ۰/۳۰ | ۹ | ۲۱ | ۰/۲۹ | ۹ | ۱۷ | ۳۳ | ۱۹ | ۳۳ | ۲ |
| ۴/۷ | ۵/۰ | ۴/۷ | ۵/۱ | ۳۰ | ۰/۲۷ | ۸ | ۲۱ | ۰/۲۶ | ۸ | ۲۰ | ۲۶ | ۲۲ | ۲۵ | ۳ |
| ۴/۸ | ۴/۵ | ۴/۹ | ۴/۷ | ۲۸ | ۰/۲۸ | ۸ | ۲۸ | ۰/۲۹ | ۸ | ۱۹ | ۲۶ | ۱۸ | ۲۸ | ۴ |
| ۴/۶ | ۴/۴ | ۴/۷ | ۴/۴ | ۲۳ | ۰/۲۸ | ۷ | ۲۸ | ۰/۲۷ | ۸ | ۱۵ | ۲۲ | ۲۱ | ۲۴ | ۵ |
| ۵/۵ | ۴/۰ | ۵/۵ | ۴/۱ | ۴۹ | ۰/۳۰ | ۱۵ | ۵۹ | ۰/۲۸ | ۱۶ | ۳۱ | ۵۴ | ۳۹ | ۵۴ | ۶ |
| ۴/۸ | ۴/۸ | ۴/۸ | ۵/۰ | ۵۰ | ۰/۲۲ | ۱۱ | ۵۹ | ۰/۲۱ | ۱۲ | ۴۵ | ۳۰ | ۶۲ | ۳۰ | ۷ |
| ۵/۴ | ۴/۳ | ۵/۴ | ۴/۲ | ۷۵ | ۰/۲۴ | ۱۸ | ۹۸ | ۰/۲۱ | ۲۱ | ۶۷ | ۵۰ | ۱۱۴ | ۵۲ | ۸ |
| ۴/۵ | ۴/۷ | ۴/۵ | ۴/۶ | ۲۳ | ۰/۲۷ | ۶ | ۲۴ | ۰/۲۶ | ۶ | ۱۶ | ۱۹ | ۱۸ | ۱۹ | ۹ |
| ۴/۹ | ۴/۵ | ۴/۹ | ۴/۵ | ۳۷ | ۰/۲۷ | ۱۰ | ۴۲ | ۰/۲۶ | ۱۱ | ۲۷ | ۳۱ | ۲۶ | ۳۲ | میانگین |

جدول ۶- اثر نوع خاک بر شاخص‌های گیاه لوپیا.

| شماره خاک | جذب فسفر در بخش هوایی | ماده خشک بخش هوایی | غلظت فسفر بخش هوایی (mg kg ⁻¹) | (g rhizobox ⁻¹) | (mg rhizobox ⁻¹) | LSD _(1%) |
|-----------|-----------------------|--------------------|---|-----------------------------|------------------------------|---------------------|
| ۲۱۹۴ | ۷/۴۷ | | ۱۵/۸۶ | | ۱ | |
| ۲۲۲۳ | ۶/۶۱ | | ۱۵/۱۳ | | ۲ | |
| ۲۰۵۶ | ۹/۳۷ | | ۱۹/۲۲ | | ۳ | |
| ۲۷۷۲ | ۹/۸۲ | | ۲۷/۳۴ | | ۴ | |
| ۳۲۷۵ | ۸/۵۵ | | ۲۸/۴۸ | | ۵ | |
| ۴۲۸۱ | ۱۱/۴۷ | | ۴۹/۰۹ | | ۶ | |
| ۳۹۲۲ | ۱۱/۰۴ | | ۴۲/۲۶ | | ۷ | |
| ۳۷۲۳ | ۱۳/۴۱ | | ۴۹/۸۷ | | ۸ | |
| ۳۷۵۶ | ۹/۰۷ | | ۳۴/۰۲ | | ۹ | |
| ۸۲۰ | ۲/۳۵ | | ۸/۸۲ | | | LSD _(1%) |

٪ معنی‌دار در سطح احتمال ۹۹ درصد (***)

معنی‌داری با عملکرد خشک بخش هوایی و فسفر جذب شده به‌وسیله بخش هوایی لوپیا داشتند. همبستگی ثابت‌های سرعت معادلات سینتیکی با شاخص‌های گیاهی در مطالعات گذشته نیز گزارش شده است (بیابانکی و حسین‌پور ۱۳۸۶، کوک ۱۹۶۶، استفنز ۱۹۹۴، بیابانکی و حسین‌پور ۱۹۹۹). بیابانکی و حسین‌پور (۱۳۸۶) تور و باهل (۱۹۹۹) بیابانکی و حسین‌پور گزارش کردند که ثابت‌های معادلات پخشیدگی پارabolیک، تابع توانی و فسفر آزادشده به‌وسیله عصاره‌گیری متواالی با بیکربنات سدیم پس از ۱۷۵۲ ساعت همبستگی معنی‌داری با شاخص‌های گیاه ذرت داشتند.

نتایج نشان داد که شاخص‌های گیاه لوپیا شامل غلظت فسفر، عملکرد خشک ساقه و مقدار فسفر جذب شده به‌وسیله بخش هوایی (ساقه) لوپیا به‌طور معنی‌داری تحت تأثیر نوع خاک است (جدول ۶). کمترین و بیشترین جذب فسفر به‌وسیله لوپیا به ترتیب مربوط به خاک ۳ (۱۵/۱۲ میلی‌گرم در ریزوپاکس)؛ و خاک ۹ (۴۹/۸۷ میلی‌گرم در ریزوپاکس) بود (جدول ۶).

ضرایب همبستگی شاخص‌های گیاه لوپیا با ضرایب سرعت آزاد شدن فسفر از خاک‌های ریزوسفری و غیرریزوسفری در جدول ۷ آورده شده است. نتایج نشان داد مقدار فسفر آزادشده بعد از ۱۰۰۸ ساعت و سرعت رهاسازی اولیه تابع توانی در خاک‌های ریزوسفری و غیرریزوسفری همبستگی

جدول ۷- ضرایب همبستگی بین شاخص‌های گیاهی و ثابت‌های معادلات سینتیکی در خاک‌های ریزوسفری و غیرریزوسفری.

| ویژگی | محیط | جذب فسفر در بخش هوایی | ماده خشک بخش هوایی | غلظت فسفر بخش هوایی |
|-----------------|------------|-----------------------|--------------------|---------------------|
| فسفر آزاد شده | ریزوسفر | ۰/۶۲* | ۰/۷۰* | ۰/۴۲n.s |
| ۲-۱۰۰۸ ساعت | غیرریزوسفر | ۰/۶۳* | ۰/۷۰* | ۰/۴۲n.s |
| الوچیج ساده شده | ریزوسفر | ۰/۳۹n.s | ۰/۵۷n.s | ۰/۳۴n.s |
| تابع توانی | غیرریزوسفر | ۰/۳۹n.s | ۰/۵۸n.s | ۰/۳۶n.s |
| | ریزوسفر | ۰/۶۲* | ۰/۶۸* | ۰/۳۷n.s |
| | غیرریزوسفر | ۰/۶۲* | ۰/۶۸* | ۰/۳۷n.s |
| مرتبه اول | ریزوسفر | ۰/۱۵n.s | -۰/۰۵n.s | -۰/۱۲n.s |
| | غیرریزوسفر | ۰/۲۲ | ۰/۰۲n.s | -۰/۲۲n.s |

* معنی‌دار در سطح احتمال پنج درصد و n.s یعنی در سطح احتمال پنج درصد معنی‌دار نبیست.

می‌شود (فسفر مرتبط با کلسیم). هر سه شکل به‌طور همزمان در مراحل اولیه (۱۶۸-۲ ساعت) آزاد می‌شوند اما در زمان‌های بعدی تنها شکلی از فسفر که سرعت آزادسازی آن آرام است آزاد می‌شود. لیکن در خاک‌های آهکی غیرریزوسفری، احتمالاً فسفر آلی و فسفر مرتبط با کلسیم به‌طور همزمان در مراحل اولیه (۱۶۸-۲ ساعت) آزاد می‌شوند اما در زمان‌های بعدی تنها فسفر مرتبط با کلسیم آزاد می‌شود. همچنین در بخش اول، مقدار فسفر آزادشده همبستگی معنی‌داری با فسفر استخراج شده با روش اولسن در خاک‌های ریزوسفری و غیرریزوسفری داشت.

نتیجه‌گیری کلی

بررسی نمودار آزاد شدن تجمعی فسفر به‌وسیله عصاره‌گیر بیکربنات سدیم نشان داد که سرعت آزاد شدن فسفر از این خاک‌ها (چه ریزوسفری و چه غیرریزوسفری) در مراحل اولیه سریع (۲-۱۶۸ ساعت) و سپس کند (۱۶۸-۱۰۰۸ ساعت) بود. با توجه به نتایج همبستگی مقدار فسفر آزادشده در دو بخش منحنی آزادسازی فسفر با شکل‌های مختلف فسفر به‌نظر می‌رسد که در خاک‌های آهکی ریزوسفری سه شکل از فسفر در رهاسازی فسفر دخالت دارند: دو شکل که سریعاً آزاد می‌شود (فسفر مرتبط با اکسیدهای آهن و آلمینیم و فسفر آلی) و یک شکل که به‌کندی آزاد

همچنین در خاک‌های ریزوسفری و غیرریزوسفری، معادله‌های تابع نمایی، الوبیج ساده و مرتبه اول می‌تواند روند آزادشدن فسفر را به‌خوبی، تشریح کند. علاوه‌بر این مقدار فسفر آزادشده بعد از ۱۰۰۸ ساعت و سرعت رهاسازی اولیه تابع توانی در خاک‌های ریزوسفری و غیرریزوسفری همبستگی معنی‌داری با عملکرد خشک بخش هوایی و فسفر جذب شده به‌وسیله بخش هوایی لوبيا داشتند. بنابراین به‌نظر می‌رسد، سرعت آزادسازی فسفر از خاک‌ها فاکتور مهمی در تأمین فسفر موردنیاز گیاه است.

لیکن در بخش دوم همبستگی معنی‌داری بین دو ویژگی ذکر شده چه در خاک‌های ریزوسفری و چه در خاک‌های غیرریزوسفری مشاهده نشد. بنابراین در بخش اول فسفر از مخازن لبایلی که به‌وسیله عصاره‌گیر تک مرحله‌ای اوپسن قابل استخراج می‌باشد آزاد شده است اما در بخش دوم با بر هم خوردن تعادل واکنش‌های انحلال-رسوب وارد عمل شده و بخش‌هایی از فسفر غیرلبایل آزاد شده است. مقدار فسفر استخراج شده به‌وسیله عصاره‌گیری متولی با بیکربنات سدیم بعد از سپری شدن ۱۰۰۸ ساعت از خاک‌های ریزوسفری به‌طور معنی‌داری کمتر از خاک‌های غیرریزوسفری بود.

منابع مورد استفاده

- بیابانکی ف و حسین‌پور ع ر، ۱۳۸۶. سینتیک آزاد شدن فسفر و همبستگی ضرایب مدل‌های سینتیک با برخی ویژگی‌های خاک و شاخص‌های گیاهی در تعدادی از خاک‌های همدان. علوم و فنون کشاورزی و منابع طبیعی، جلد ۱۱، صفحه-های ۴۹۱ تا ۵۰۳.
- پارسافر غ، جلالی هروی م، سعیدی م رو غیاثی م، ۱۳۸۰. شیمی عمومی برای رشته‌های مهندسی. مرکز نشر دانشگاه زارع‌نیا م، ۱۳۹۰. ارزیابی عصارگیرهای شیمیایی مختلف برای تعیین پتانسیم قابل اتفاقده لوبيا چیتی در برخی از خاک‌های استان چهارمحال و بختیاری. پایان‌نامه کارشناسی ارشد خاکشناسی، دانشکده کشاورزی، دانشگاه شهرکرد.
- ملکوتی م.ج و همایی م، ۱۳۸۳. حاصلخیزی خاک‌های مناطق خشک و نیمه خشک: مشکلات و راه حل‌ها. مرکز نشر دانشگاه تربیت مدرس، تهران.

- Balik J, Pavlikova D, Vanek V, Kulhanek M and Kotkova B, 2007. The influence of long-term sewage sludge application on the activity of phosphatases in the rhizosphere of plants. *Plant, Soil and Environment Journal* 53: 375-381.
- Barrow NJ, 1978. The description of phosphate adsorption curves. *Journal of Soil Science*, 29: 447-462.
- Barrow NJ, Hansen HC, Hansen PE and Magid J, 2000. A note on the description of the kinetics of phosphate sorption. *European Journal of Soil Science* 51: 531-535.
- Bhattacharyya P, Datta SC and Dureja P, 2003. Interrelationship of pH organic acids and phosphorus concentration in soil solution of rhizosphere and non-rhizosphere of wheat and rice crops. *Communications in Soil Science and Plant Analysis* 34: 231-245.
- Chien SH and Clayton WR, 1980. Application of Elovich equation to the kinetics of phosphate release and sorption in soils. *Soil Science Society of America Journal* 44:265-268.
- Cooke IJ, 1966. Kinetic approach to the description of soil phosphate status. *Journal of Soil Science* 17: 56-64.
- Dang YP, Dalal RC, Edwards DG and Tiller KG, 1994. Kinetics of zinc desorption from Vertisols. *Soil Science Society of America Journal* 58:1392-1399.
- Darrah PR, 1993. The rhizosphere and plant nutrition:a quantitative approach. *Plant and Soil* 155: 1-20.
- Elrashidi MA, Van Diest A and El-Damaty AH, 1975. Phosphorus determination in highly calcareous soils by the use of an anion exchange resin. *Plant and Soil* 42:273-286.
- Gee GH and Bauder JW, 1986. Particle size analysis. Pp. 383-409. In: Klute A (ed.). *Methods of Soil Analysis. Part 2 Physical Properties*. SSSA, Madison, Wisconsin, USA.
- Gorgin N, Fekri M and Sadegh L, 2011. Impact of organic-matter application on phosphorus-desorption kinetics in two agricultural soils in southeastern Iran. *Communications in Soil Science and Plant Analysis* 42:514-527.
- Hinsinger P, 2001. Bioavailability of soil inorganic P in the rhizosphere as affected by root-induced chemical changes: a

- review. *Plant and Soil* 237: 173–195.
- Khater AH and Zaghloul AM, 2002. Copper and zinc desorption kinetics from soil: effect of pH. Pp.1–9. Proceedings of the Seventeen World Congress of Soil Science. 14–21 August, Bangkok, Thailand.
- Kuo S and Lotse EG, 1974. Kinetics of phosphorus adsorption and desorption by hematite and gibbsite. *Journal of Soil Science* 116: 400–406.
- Larsen S, 1967. Soil phosphorus. *Advances in Agronomy* 19: 151–210.
- Loeppert RH and Sparks DL, 1996. Carbonate and gypsum. Pp. 437–474. In: Sparks DL (ed.), *Methods of Soil Analysis. Part 3, Chemical Methods*. SSSA, Madison, Wisconsin, USA.
- Marschner P, Solaiman ZM and Rengel Z, 2005. Growth phosphorus uptake and rhizosphere microbial community composition of a phosphorus-efficient wheat cultivar in soils differing in pH. *Journal of Plant Nutrition and Soil Science* 168: 343–351.
- Marschner P, Crowley D and Rengel Z, 2011. Rhizosphere interactions between microorganisms and plants govern iron and phosphorus acquisition along the root axis e model and research methods. *Soil Biology and Biochemistry* 43: 883–894.
- McDowell RW and Sharpley AN, 2003. Phosphorus solubility and release kinetics as a function of soil test P concentration. *Geoderma* 112: 143–154.
- Morel C and Hinsinger P, 1999. Root-induced modifications of the exchange of phosphate ion between soil solution and soil solid phase. *Plant and Soil* 211: 103–110.
- Murphy J and Riley JP, 1962. A modified single solution method for the determination of phosphate in natural waters. *Analysis Chemical Acta* 27: 31–36.
- Nelson DW and Sommers LE, 1996. Total carbon organic carbon and organic matter. Pp. 961–1011. In: Sparks DL (ed.). *Methods of Soil Analysis. Part 3, Chemical Methods*. SSSA, Madison, Wisconsin, USA.
- Nishanth D and Biswas DR, 2008. Kinetics of phosphorus and potassium release from rock phosphate and waste mica enriched compost and their effect on yield and nutrient uptake by wheat (*Triticum aestivum*). *Bio-resource Technology* 99: 3342–3353.
- Nuruzzaman M, Lambers H, Bolland MDA and Veneklaas EJ, 2006. Distribution of carboxylates and acid phosphatase and depletion of different phosphorus fractions in the rhizosphere of a cereal and three grain legumes. *Plant and Soil* 281: 109–12.
- Olsen SR and Sommers LE, 1982. Phosphorus. Pp. 4013–430. In: Klute A (ed.). *Methods of Soil Analysis. Part 1 Chemical and Biological Properties*. SSSA, Madison, Wisconsin, USA.
- Rhoades JD, 1996. Salinity electrical conductivity and total dissolved solids. Pp. 417–437. In: Sparks DL (ed.). *Methods of Soil Analysis. Part 3, Chemical Methods*. SSSA, Madison, Wisconsin, USA.
- Shariatmadari H, Shirvani M and Jafari A, 2006. Phosphorus release kinetics and availability in calcareous soils of selected arid and semiarid toposequences. *Geoderma* 132: 261–272.
- Sharpley AN and Ahuja LR, 1983. A diffusion interpretation of soil phosphorus desorption. *Journal of Soil Science* 135: 322–326.
- StatSoft, Inc. 2010. STATISTICA (data analysis software system), Version 10. www. Statsoft.com.
- Steffens D, 1994. Phosphorus release kinetics and extractable phosphorus after long-term fertilization. *Soil Science Society of America Journal* 58: 1702–1708.
- Thomas GW, 1996. Soil pH and soil acidity. Pp. 475–491. In: Sparks DL (ed.), *Methods of Soil Analysis. Part 3 Chemical Methods*. SSSA, Madison, Wisconsin, USA.
- Toor GS and Bahl GS, 1999. Kinetics of phosphate desorption from different soils as influenced by application of poultry manure and fertilizer phosphorus and its uptake by soybean. *Bio-resource Technology* 69: 117–121.
- Uren NC, 2007. Types, amounts, and possible functions of compounds released into the rhizosphere by soil-grown plants. Pp. 1–23. In: Pinton R, Varanini Z and Nannipieri P (eds.), *The Rhizosphere: Biochemistry and Organic Substances at the Soil-Plant Interface*. CRC Press, London.
- Waldrip-Dail H, He Z, Erich MS and Honeycutt CW, 2011. Effects of poultry manure amendment on phosphorus uptake by ryegrass, soil phosphorus fractions and phosphatase activity. *Biology and Fertility of Soils* 47: 407–418.
- Youssef RA and Chino M, 1988. Development of a new rhizobox system to study the nutrient status in the rhizosphere. *Soil Science and Plant Nutrition* 34: 461–465.